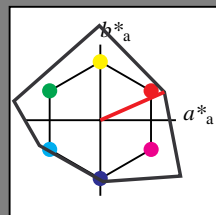


### Eingabe: Farbmimetrisches Reflexions-System NCS11

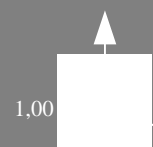
für Buntton  $h^* = lab \cdot h = 24/360 = 0.066$   
 $lab \cdot tch$  und  $lab \cdot nch$

D65: Buntton R  
LCH\*Ma: 47 92 24  
rgb\*Ma: 1.0 0.0 0.0



NCS11; adaptierte CIELAB-Daten					
	$L^*=L^*_a$	$a^*_a$	$b^*_a$	$C^*_{ab,a}$	$h^*_{ab,a}$
RMa	47.15	84.64	37.25	92.48	24
JMa	91.37	-1.27	125.03	125.03	91
GMa	63.07	-114.28	25.35	117.06	167
G50BMa	59.47	-80.6	-33.45	87.28	203
BMa	49.01	3.65	-81.19	81.28	273
B50RMa	44.06	106.09	-73.93	129.32	325
NMa	10.99	0.0	0.0	0.0	0
WMa	95.41	0.0	0.0	0.0	0
RCIE	39.92	58.69	27.98	65.01	25
JCIE	81.26	-2.9	71.56	71.62	92
GCIE	52.23	-42.45	13.59	44.59	162
BCIE	30.57	1.35	-46.48	46.51	272

Dreiecks-Helligkeit  $t^*$



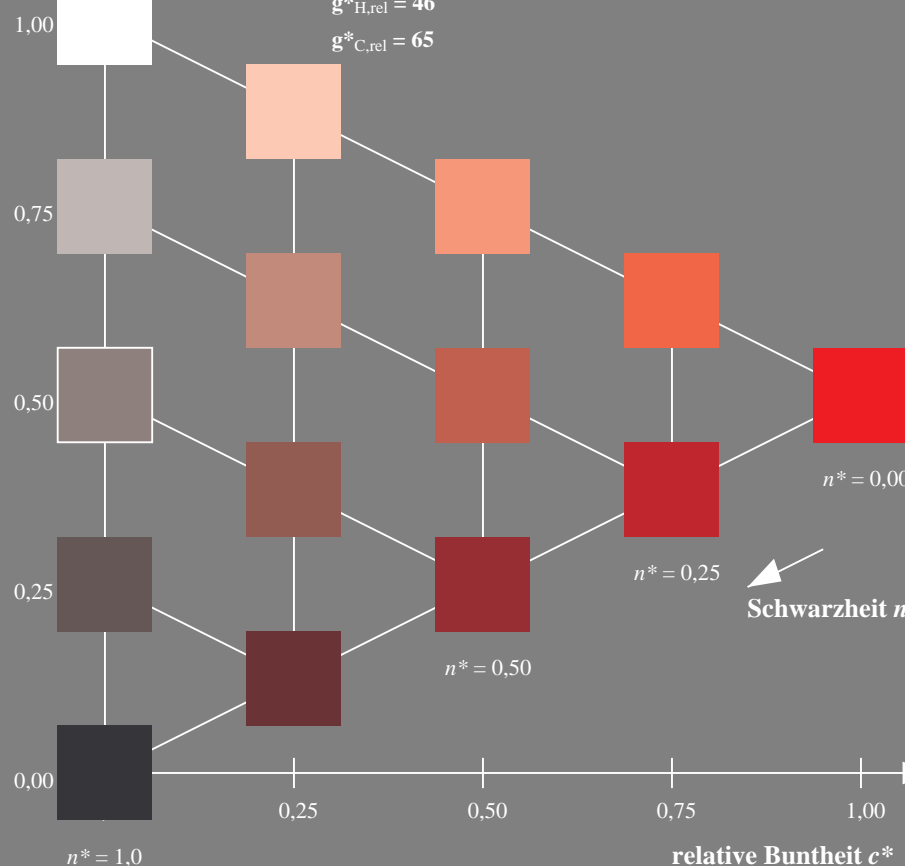
%Umfang

$u^*_{rel} = 149$

%Regularität

$g^*_{H,rel} = 46$

$g^*_{C,rel} = 65$

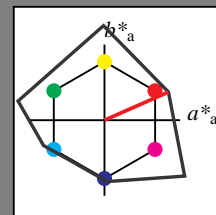


UG290-7, 5 stufige Reihen für konstanten CIELAB Buntton 24/360 = 0.066 (links)

### Ausgabe: Farbmimetrisches Reflexions-System NCS11

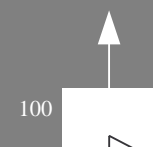
für Buntton  $h^* = lab \cdot h = 24/360 = 0.066$   
 $LAB \cdot LCH$ ,  $LAB \cdot NCH$

D65: Buntton R  
LCH\*Ma: 47 92 24  
rgb\*Ma: 1.0 0.0 0.0



NCS11; adaptierte CIELAB-Daten					
	$L^*=L^*_a$	$a^*_a$	$b^*_a$	$C^*_{ab,a}$	$h^*_{ab,a}$
RMa	47.15	84.64	37.25	92.48	24
JMa	91.37	-1.27	125.03	125.03	91
GMa	63.07	-114.28	25.35	117.06	167
G50BMa	59.47	-80.6	-33.45	87.28	203
BMa	49.01	3.65	-81.19	81.28	273
B50RMa	44.06	106.09	-73.93	129.32	325
NMa	10.99	0.0	0.0	0.0	0
WMa	95.41	0.0	0.0	0.0	0
RCIE	39.92	58.69	27.98	65.01	25
JCIE	81.26	-2.9	71.56	71.62	92
GCIE	52.23	-42.45	13.59	44.59	162
BCIE	30.57	1.35	-46.48	46.51	272

CIELAB-Helligkeit  $L^*$



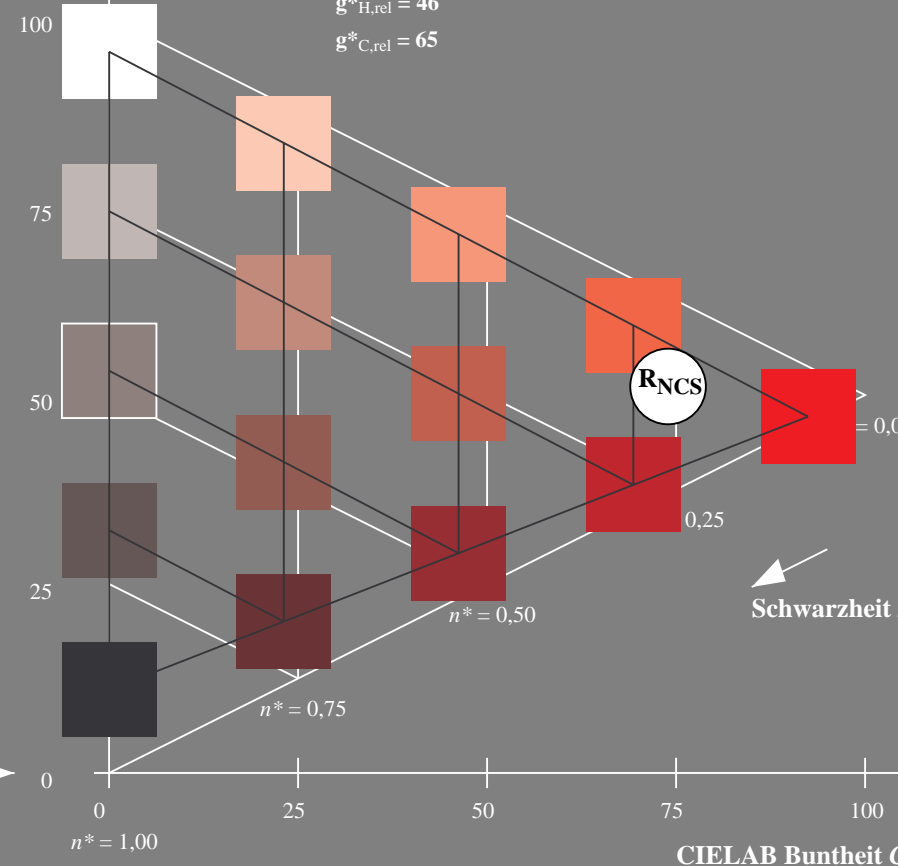
%Umfang

$u^*_{rel} = 149$

%Regularität

$g^*_{H,rel} = 46$

$g^*_{C,rel} = 65$



5 stufige Reihen für konstanten CIELAB Buntton 24/360 = 0.066 (rechts)

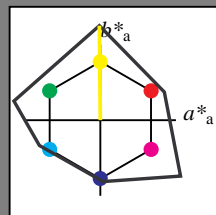
BAM-Prüfvorlage UG29; Farbmimetrik-Systeme NCS11a & NCS11b

D65: Koordinaten-Systeme von 5stufigen Farbreihen für 10 Bunttonen  
Input:  $cmY0^* setcmykcolor$   
Output: no change compared to input

### Eingabe: Farbmimetrisches Reflexions-System NCS11

für Buntton  $h^* = lab^*h = 91/360 = 0.252$   
 $lab^*tch$  und  $lab^*nch$

D65: Buntton J  
LCH\*Ma: 91 125 91  
rgb\*Ma: 1.0 1.0 0.0

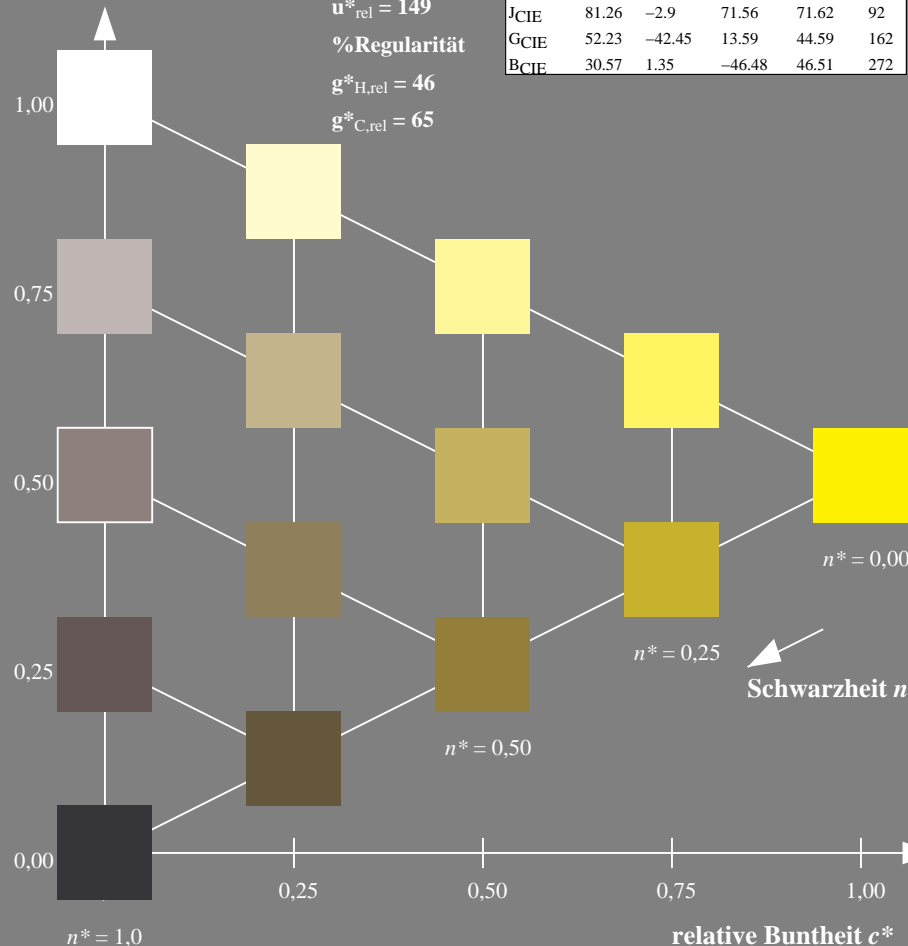


#### NCS11; adaptierte CIELAB-Daten

	$L^*=L^*_a$	$a^*_a$	$b^*_a$	$C^*_{ab,a}$	$h^*_{ab,a}$
RMa	47.15	84.64	37.25	92.48	24
JMa	91.37	-1.27	125.03	125.03	91
GMa	63.07	-114.28	25.35	117.06	167
G50BMa	59.47	-80.6	-33.45	87.28	203
BMa	49.01	3.65	-81.19	81.28	273
B50RMa	44.06	106.09	-73.93	129.32	325
NMa	10.99	0.0	0.0	0.0	0
WMa	95.41	0.0	0.0	0.0	0
RCIE	39.92	58.69	27.98	65.01	25
JCIE	81.26	-2.9	71.56	71.62	92
GCIE	52.23	-42.45	13.59	44.59	162
BCIE	30.57	1.35	-46.48	46.51	272

Dreiecks-Helligkeit  $t^*$

%Umfang  
 $u^*_{rel} = 149$   
%Regularität  
 $g^*_{H,rel} = 46$   
 $g^*_{C,rel} = 65$

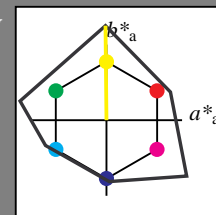


UG290-7, 5 stufige Reihen für konstanten CIELAB Buntton 91/360 = 0.252 (links)

### Ausgabe: Farbmimetrisches Reflexions-System NCS11

für Buntton  $h^* = lab^*h = 91/360 = 0.252$   
 $LAB^*LCH$ ,  $LAB^*NCH$

D65: Buntton J  
LCH\*Ma: 91 125 91  
rgb\*Ma: 1.0 1.0 0.0

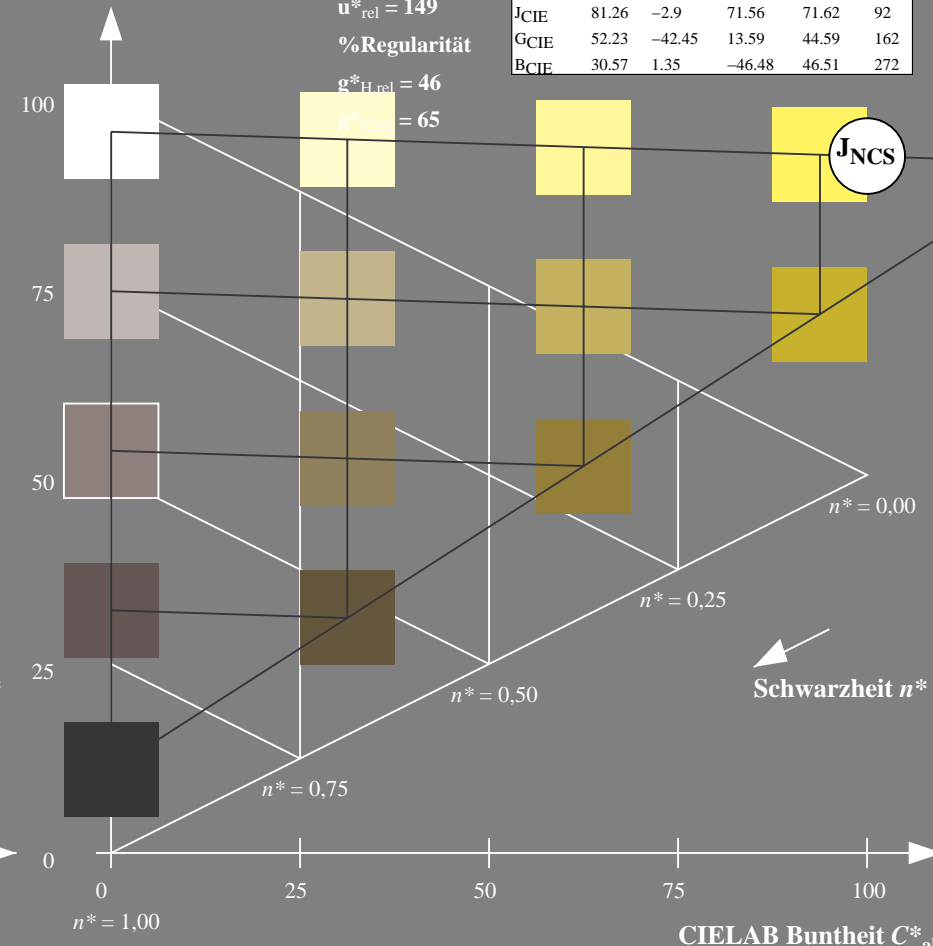


#### NCS11; adaptierte CIELAB-Daten

	$L^*=L^*_a$	$a^*_a$	$b^*_a$	$C^*_{ab,a}$	$h^*_{ab,a}$
RMa	47.15	84.64	37.25	92.48	24
JMa	91.37	-1.27	125.03	125.03	91
GMa	63.07	-114.28	25.35	117.06	167
G50BMa	59.47	-80.6	-33.45	87.28	203
BMa	49.01	3.65	-81.19	81.28	273
B50RMa	44.06	106.09	-73.93	129.32	325
NMa	10.99	0.0	0.0	0.0	0
WMa	95.41	0.0	0.0	0.0	0
RCIE	39.92	58.69	27.98	65.01	25
JCIE	81.26	-2.9	71.56	71.62	92
GCIE	52.23	-42.45	13.59	44.59	162
BCIE	30.57	1.35	-46.48	46.51	272

CIELAB-Helligkeit  $L^*$

%Umfang  
 $u^*_{rel} = 149$   
%Regularität  
 $g^*_{H,rel} = 46$   
 $g^*_{C,rel} = 65$



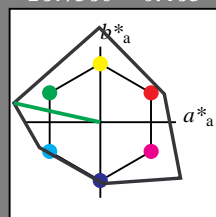
5 stufige Reihen für konstanten CIELAB Buntton 91/360 = 0.252 (rechts)

BAM-Prüfvorlage UG29; Farbmimetrik-Systeme NCS11a & NCS11b  
D65: Koordinaten-Systeme von 5stufigen Farbreihen für 10 Bunttonen  
Input:  $cmY0^*setcmykcolor$   
Output:  $no\ change\ compared\ to\ input$

### Eingabe: Farbmimetrisches Reflexions-System NCS11

für Buntton  $h^* = lab^*h = 167/360 = 0.465$   
 $lab^*tch$  und  $lab^*nch$

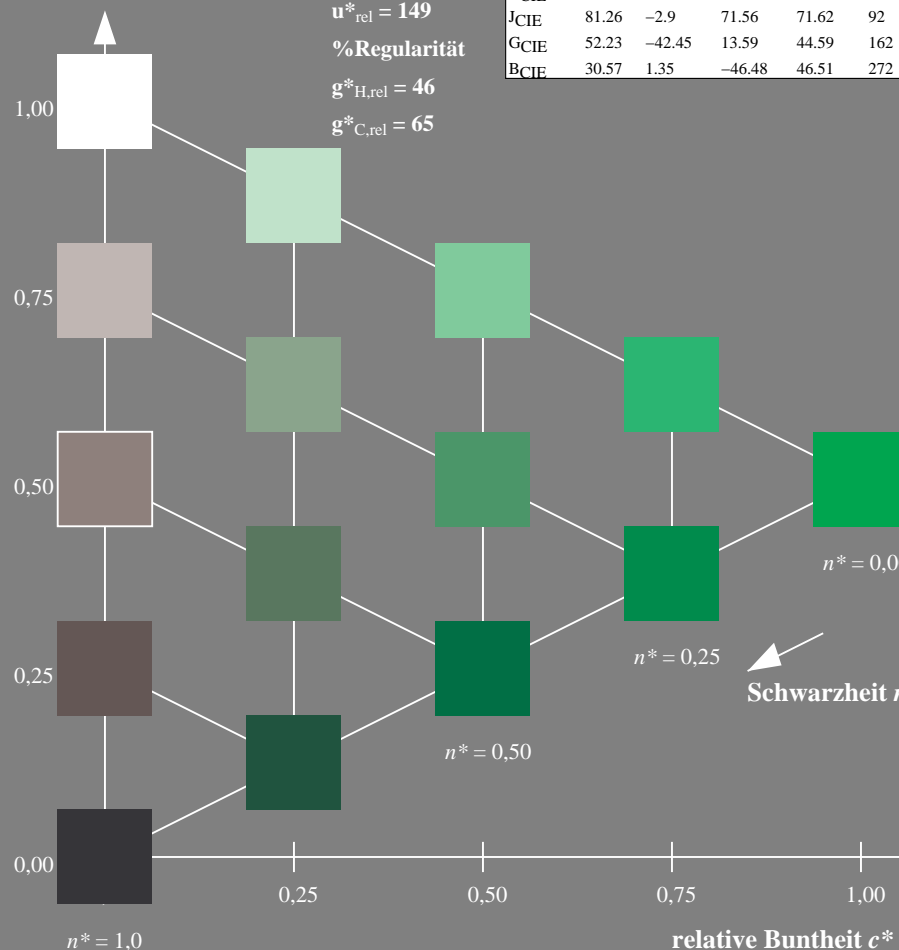
D65: Buntton G  
LCH\*Ma: 63 117 167  
rgb\*Ma: 0.0 1.0 0.0



NCS11; adaptierte CIELAB-Daten					
	$L^*=L^*_a$	$a^*_a$	$b^*_a$	$C^*_{ab,a}$	$h^*_{ab,a}$
RMa	47.15	84.64	37.25	92.48	24
JMa	91.37	-1.27	125.03	125.03	91
GMa	63.07	-114.28	25.35	117.06	167
G50B <sub>Ma</sub>	59.47	-80.6	-33.45	87.28	203
B <sub>Ma</sub>	49.01	3.65	-81.19	81.28	273
B50R <sub>Ma</sub>	44.06	106.09	-73.93	129.32	325
N <sub>Ma</sub>	10.99	0.0	0.0	0.0	0
W <sub>Ma</sub>	95.41	0.0	0.0	0.0	0
RCIE	39.92	58.69	27.98	65.01	25
JCIE	81.26	-2.9	71.56	71.62	92
GCIE	52.23	-42.45	13.59	44.59	162
BCIE	30.57	1.35	-46.48	46.51	272

Dreiecks-Helligkeit  $t^*$

%Umfang  
 $u^*_{rel} = 149$   
%Regularität  
 $g^*_{H,rel} = 46$   
 $g^*_{C,rel} = 65$



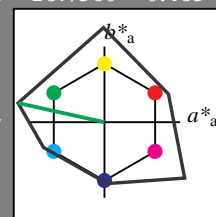
UG290-7, 5 stufige Reihen für konstanten CIELAB Buntton 167/360 = 0.465 (links)

BAM-Prüfvorlage UG29; Farbmimetrische-Systeme NCS11a & NCS11b  
D65: Koordinaten-Systeme von 5stufigen Farbreihen für 10 Buntton

### Ausgabe: Farbmimetrisches Reflexions-System NCS11

für Buntton  $h^* = lab^*h = 167/360 = 0.465$   
 $LAB^*LCH$ ,  $LAB^*NCH$

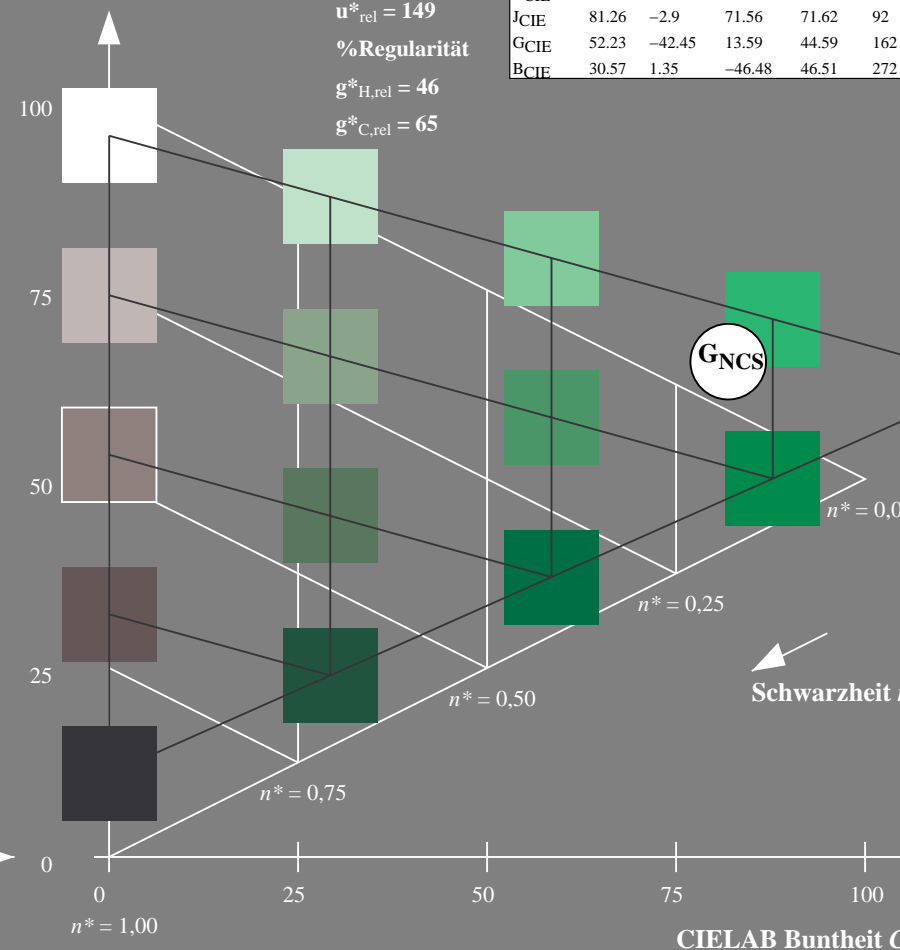
D65: Buntton G  
LCH\*Ma: 63 117 167  
rgb\*Ma: 0.0 1.0 0.0



NCS11; adaptierte CIELAB-Daten					
	$L^*=L^*_a$	$a^*_a$	$b^*_a$	$C^*_{ab,a}$	$h^*_{ab,a}$
RMa	47.15	84.64	37.25	92.48	24
JMa	91.37	-1.27	125.03	125.03	91
GMa	63.07	-114.28	25.35	117.06	167
G50B <sub>Ma</sub>	59.47	-80.6	-33.45	87.28	203
B <sub>Ma</sub>	49.01	3.65	-81.19	81.28	273
B50R <sub>Ma</sub>	44.06	106.09	-73.93	129.32	325
N <sub>Ma</sub>	10.99	0.0	0.0	0.0	0
W <sub>Ma</sub>	95.41	0.0	0.0	0.0	0
RCIE	39.92	58.69	27.98	65.01	25
JCIE	81.26	-2.9	71.56	71.62	92
GCIE	52.23	-42.45	13.59	44.59	162
BCIE	30.57	1.35	-46.48	46.51	272

CIELAB-Helligkeit  $L^*$

%Umfang  
 $u^*_{rel} = 149$   
%Regularität  
 $g^*_{H,rel} = 46$   
 $g^*_{C,rel} = 65$



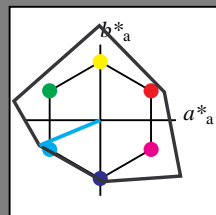
5 stufige Reihen für konstanten CIELAB Buntton 167/360 = 0.465 (rechts)

Input:  $cmY0^* setcmykcolor$   
Output: no change compared to input

### Eingabe: Farbmimetrisches Reflexions-System NCS11

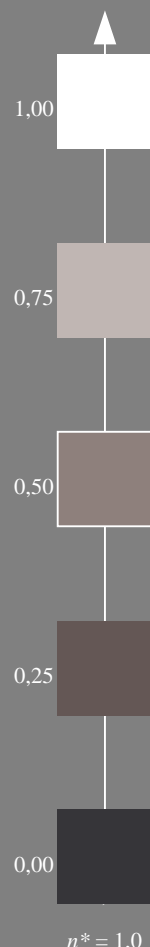
für Buntton  $h^* = lab^*h = 203/360 = 0.563$   
 $lab^*tch$  und  $lab^*nch$

D65: Buntton G50B  
LCH\*Ma: 59 87 203  
rgb\*Ma: 0.0 1.0 1.0



NCS11; adaptierte CIELAB-Daten					
	$L^*=L^*_a$	$a^*_a$	$b^*_a$	$C^*_{ab,a}$	$h^*_{ab,a}$
RMa	47.15	84.64	37.25	92.48	24
JMa	91.37	-1.27	125.03	125.03	91
GMa	63.07	-114.28	25.35	117.06	167
G50B <sub>Ma</sub>	59.47	-80.6	-33.45	87.28	203
B <sub>Ma</sub>	49.01	3.65	-81.19	81.28	273
B50R <sub>Ma</sub>	44.06	106.09	-73.93	129.32	325
N <sub>Ma</sub>	10.99	0.0	0.0	0.0	0
W <sub>Ma</sub>	95.41	0.0	0.0	0.0	0
RCIE	39.92	58.69	27.98	65.01	25
JCIE	81.26	-2.9	71.56	71.62	92
GCIE	52.23	-42.45	13.59	44.59	162
BCIE	30.57	1.35	-46.48	46.51	272

Dreiecks-Helligkeit  $t^*$

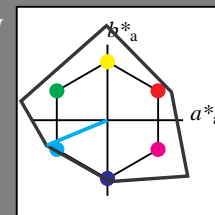


%Umfang  
 $u^*_{rel} = 149$   
%Regularität  
 $g^*_{H,rel} = 46$   
 $g^*_{C,rel} = 65$

### Ausgabe: Farbmimetrisches Reflexions-System NCS11

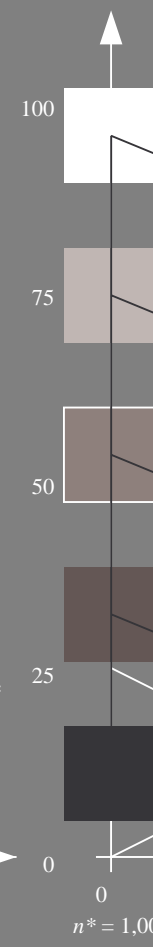
für Buntton  $h^* = lab^*h = 203/360 = 0.563$   
 $LAB^*LCH$ ,  $LAB^*NCH$

D65: Buntton G50B  
LCH\*Ma: 59 87 203  
rgb\*Ma: 0.0 1.0 1.0



NCS11; adaptierte CIELAB-Daten					
	$L^*=L^*_a$	$a^*_a$	$b^*_a$	$C^*_{ab,a}$	$h^*_{ab,a}$
RMa	47.15	84.64	37.25	92.48	24
JMa	91.37	-1.27	125.03	125.03	91
GMa	63.07	-114.28	25.35	117.06	167
G50B <sub>Ma</sub>	59.47	-80.6	-33.45	87.28	203
B <sub>Ma</sub>	49.01	3.65	-81.19	81.28	273
B50R <sub>Ma</sub>	44.06	106.09	-73.93	129.32	325
N <sub>Ma</sub>	10.99	0.0	0.0	0.0	0
W <sub>Ma</sub>	95.41	0.0	0.0	0.0	0
RCIE	39.92	58.69	27.98	65.01	25
JCIE	81.26	-2.9	71.56	71.62	92
GCIE	52.23	-42.45	13.59	44.59	162
BCIE	30.57	1.35	-46.48	46.51	272

CIELAB-Helligkeit  $L^*$



%Umfang  
 $u^*_{rel} = 149$   
%Regularität  
 $g^*_{H,rel} = 46$   
 $g^*_{C,rel} = 65$

UG290-7, 5 stufige Reihen für konstanten CIELAB Buntton 203/360 = 0.563 (links)

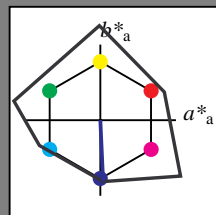
5 stufige Reihen für konstanten CIELAB Buntton 203/360 = 0.563 (rechts)

BAM-Prüfvorlage UG29; Farbmimetrik-Systeme NCS11a & NCS11b  
D65: Koordinaten-Systeme von 5stufigen Farbreihen für 10 Bunttonen  
Input:  $cmY0^* setcmykcolor$   
Output: no change compared to input

### Eingabe: Farbmimetrisches Reflexions-System NCS11

für Buntton  $h^* = lab^*h = 273/360 = 0.757$   
 $lab^*tch$  und  $lab^*nch$

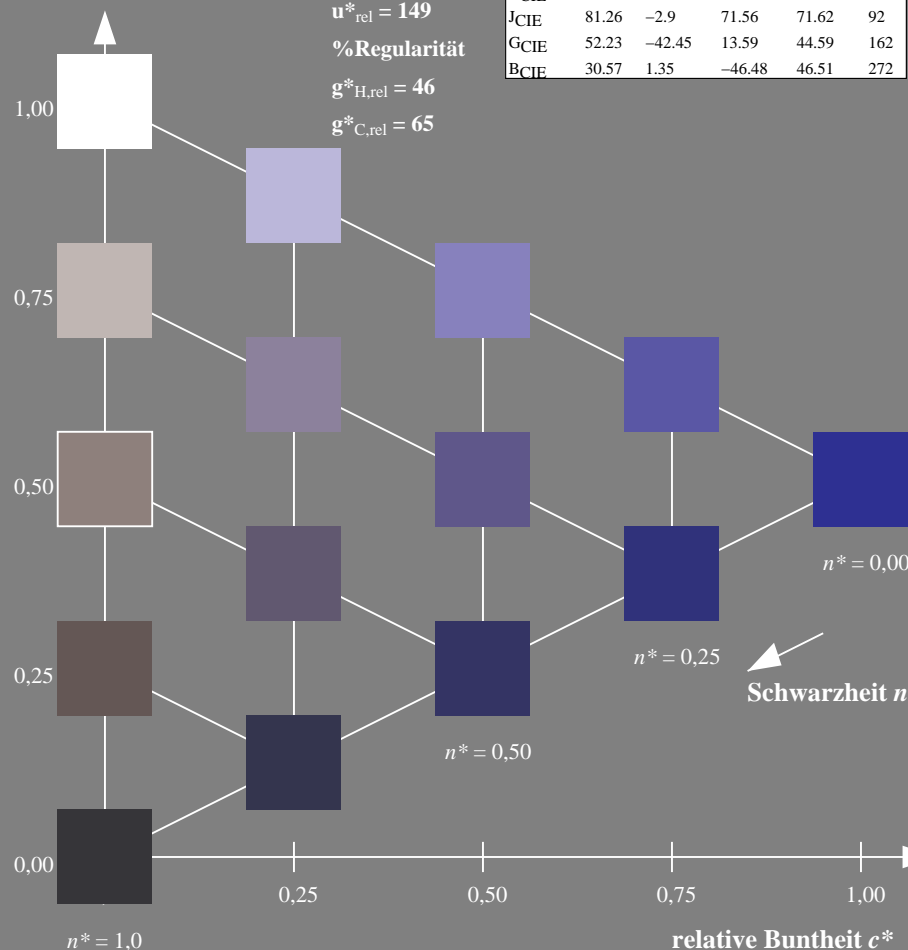
D65: Buntton B  
LCH\*Ma: 49 81 273  
rgb\*Ma: 0.0 0.0 1.0



NCS11; adaptierte CIELAB-Daten					
	$L^*=L^*_a$	$a^*_a$	$b^*_a$	$C^*_{ab,a}$	$h^*_{ab,a}$
RMa	47.15	84.64	37.25	92.48	24
JMa	91.37	-1.27	125.03	125.03	91
GMa	63.07	-114.28	25.35	117.06	167
G50BMa	59.47	-80.6	-33.45	87.28	203
BMa	49.01	3.65	-81.19	81.28	273
B50RMa	44.06	106.09	-73.93	129.32	325
NMa	10.99	0.0	0.0	0.0	0
WMa	95.41	0.0	0.0	0.0	0
RCIE	39.92	58.69	27.98	65.01	25
JCIE	81.26	-2.9	71.56	71.62	92
GCIE	52.23	-42.45	13.59	44.59	162
BCIE	30.57	1.35	-46.48	46.51	272

Dreiecks-Helligkeit  $t^*$

%Umfang  
 $u^*_{rel} = 149$   
%Regularität  
 $g^*_{H,rel} = 46$   
 $g^*_{C,rel} = 65$



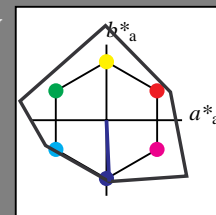
UG290-7, 5 stufige Reihen für konstanten CIELAB Buntton 273/360 = 0.757 (links)

BAM-Prüfvorlage UG29; Farbmimetrik-Systeme NCS11a & NCS11b  
D65: Koordinaten-Systeme von 5stufigen Farbreihen für 10 Bunttonen

### Ausgabe: Farbmimetrisches Reflexions-System NCS11

für Buntton  $h^* = lab^*h = 273/360 = 0.757$   
 $LAB^*LCH$ ,  $LAB^*NCH$

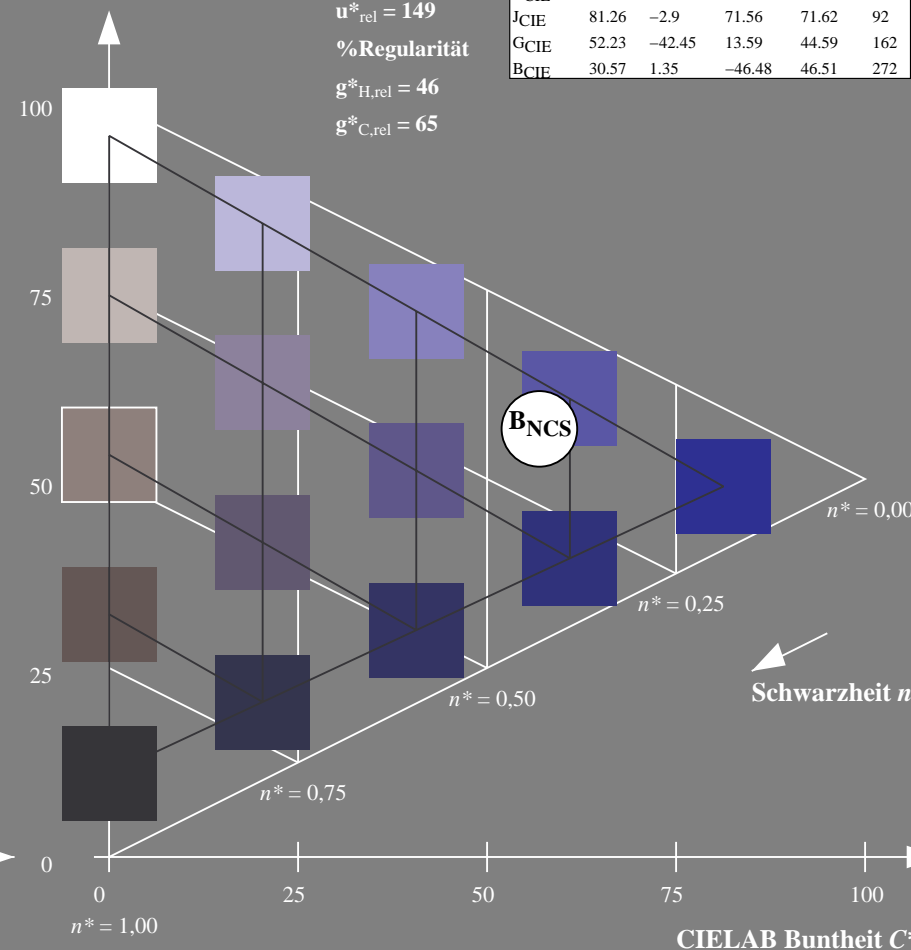
D65: Buntton B  
LCH\*Ma: 49 81 273  
rgb\*Ma: 0.0 0.0 1.0



NCS11; adaptierte CIELAB-Daten					
	$L^*=L^*_a$	$a^*_a$	$b^*_a$	$C^*_{ab,a}$	$h^*_{ab,a}$
RMa	47.15	84.64	37.25	92.48	24
JMa	91.37	-1.27	125.03	125.03	91
GMa	63.07	-114.28	25.35	117.06	167
G50BMa	59.47	-80.6	-33.45	87.28	203
BMa	49.01	3.65	-81.19	81.28	273
B50RMa	44.06	106.09	-73.93	129.32	325
NMa	10.99	0.0	0.0	0.0	0
WMa	95.41	0.0	0.0	0.0	0
RCIE	39.92	58.69	27.98	65.01	25
JCIE	81.26	-2.9	71.56	71.62	92
GCIE	52.23	-42.45	13.59	44.59	162
BCIE	30.57	1.35	-46.48	46.51	272

CIELAB-Helligkeit  $L^*$

%Umfang  
 $u^*_{rel} = 149$   
%Regularität  
 $g^*_{H,rel} = 46$   
 $g^*_{C,rel} = 65$



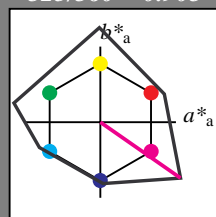
5 stufige Reihen für konstanten CIELAB Buntton 273/360 = 0.757 (rechts)

Input:  $cmY0^* setcmykcolor$   
Output: no change compared to input

### Eingabe: Farbmimetrisches Reflexions-System NCS11

für Buntton  $h^* = lab \cdot h = 325/360 = 0.903$   
 $lab \cdot tch$  und  $lab \cdot nch$

D65: Buntton B50R  
LCH\*Ma: 44 129 325  
rgb\*Ma: 1.0 0.0 1.0



NCS11; adaptierte CIELAB-Daten					
	$L^*=L^*_a$	$a^*_a$	$b^*_a$	$C^*_{ab,a}$	$h^*_{ab,a}$
RMa	47.15	84.64	37.25	92.48	24
JMa	91.37	-1.27	125.03	125.03	91
GMa	63.07	-114.28	25.35	117.06	167
G50BMa	59.47	-80.6	-33.45	87.28	203
BMa	49.01	3.65	-81.19	81.28	273
B50RMa	44.06	106.09	-73.93	129.32	325
NMa	10.99	0.0	0.0	0.0	0
WMa	95.41	0.0	0.0	0.0	0
RCIE	39.92	58.69	27.98	65.01	25
JCIE	81.26	-2.9	71.56	71.62	92
GCIE	52.23	-42.45	13.59	44.59	162
BCIE	30.57	1.35	-46.48	46.51	272

Dreiecks-Helligkeit  $t^*$



%Umfang

$u^*_{rel} = 149$

%Regularität

$g^*_{H,rel} = 46$

$g^*_{C,rel} = 65$

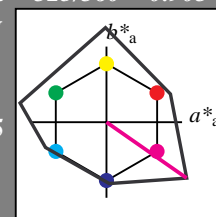
Schwarzheit  $n^*$

UG290-7, 5 stufige Reihen für konstanten CIELAB Buntton 325/360 = 0.903 (links)

### Ausgabe: Farbmimetrisches Reflexions-System NCS11

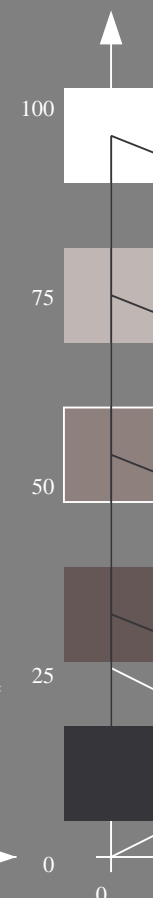
für Buntton  $h^* = lab \cdot h = 325/360 = 0.903$   
 $LAB \cdot LCH$ ,  $LAB \cdot NCH$

D65: Buntton B50R  
LCH\*Ma: 44 129 325  
rgb\*Ma: 1.0 0.0 1.0



NCS11; adaptierte CIELAB-Daten					
	$L^*=L^*_a$	$a^*_a$	$b^*_a$	$C^*_{ab,a}$	$h^*_{ab,a}$
RMa	47.15	84.64	37.25	92.48	24
JMa	91.37	-1.27	125.03	125.03	91
GMa	63.07	-114.28	25.35	117.06	167
G50BMa	59.47	-80.6	-33.45	87.28	203
BMa	49.01	3.65	-81.19	81.28	273
B50RMa	44.06	106.09	-73.93	129.32	325
NMa	10.99	0.0	0.0	0.0	0
WMa	95.41	0.0	0.0	0.0	0
RCIE	39.92	58.69	27.98	65.01	25
JCIE	81.26	-2.9	71.56	71.62	92
GCIE	52.23	-42.45	13.59	44.59	162
BCIE	30.57	1.35	-46.48	46.51	272

CIELAB-Helligkeit  $L^*$



%Umfang

$u^*_{rel} = 149$

%Regularität

$g^*_{H,rel} = 46$

$g^*_{C,rel} = 65$

Schwarzheit  $n^*$

5 stufige Reihen für konstanten CIELAB Buntton 325/360 = 0.903 (rechts)

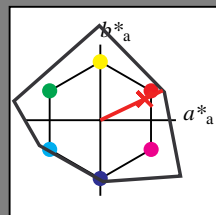
BAM-Prüfvorlage UG29; Farbmimetrik-Systeme NCS11a & NCS11b

D65: Koordinaten-Systeme von 5stufigen Farbreihen für 10 Bunttonen  
Input:  $cmY0^* setcmykcolor$   
Output: no change compared to input

### Eingabe: Farbmimetrisches Reflexions-System NCS11

für Buntton  $h^* = lab^*h = 25/360 = 0.071$   
 $lab^*tch$  und  $lab^*nch$

D65: Buntton R  
LCH\*Ma: 48 91 25  
rgb\*Ma: 1.0 0.02 0.0

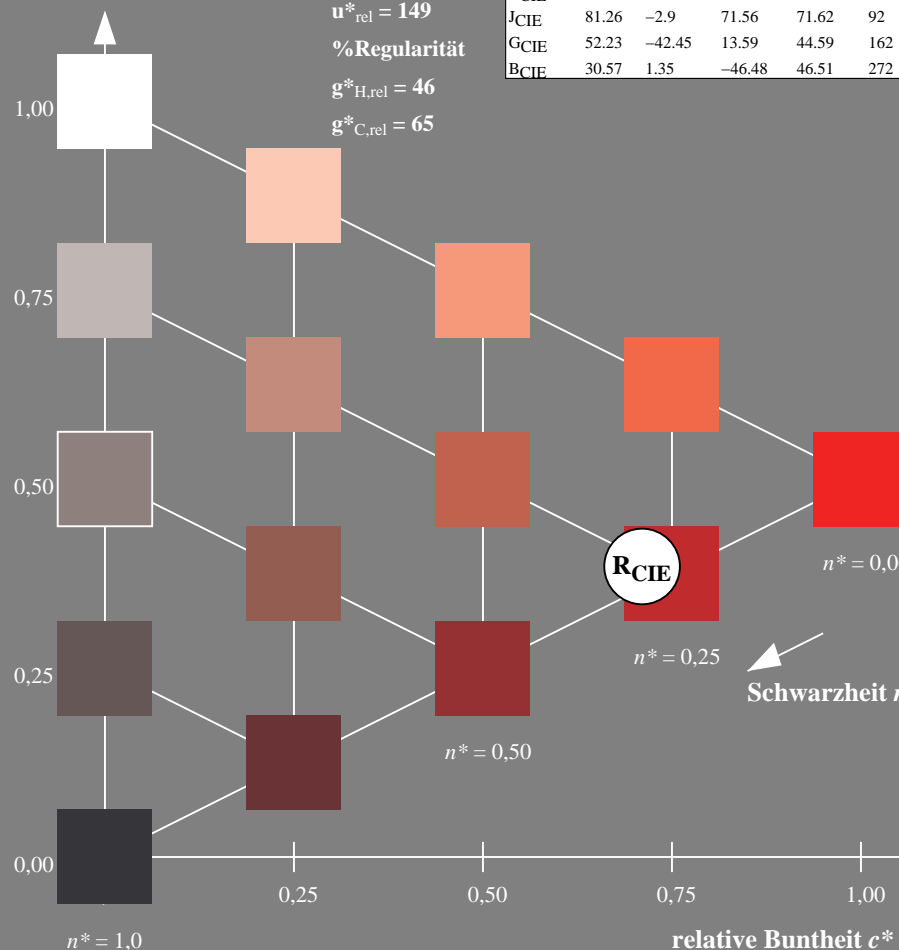


#### NCS11; adaptierte CIELAB-Daten

	$L^*=L^*_a$	$a^*_a$	$b^*_a$	$C^*_{ab,a}$	$h^*_{ab,a}$
RMa	47.15	84.64	37.25	92.48	24
JMa	91.37	-1.27	125.03	125.03	91
GMa	63.07	-114.28	25.35	117.06	167
G50BMa	59.47	-80.6	-33.45	87.28	203
BMa	49.01	3.65	-81.19	81.28	273
B50RMa	44.06	106.09	-73.93	129.32	325
NMa	10.99	0.0	0.0	0.0	0
WMa	95.41	0.0	0.0	0.0	0
RCIE	39.92	58.69	27.98	65.01	25
JCIE	81.26	-2.9	71.56	71.62	92
GCIE	52.23	-42.45	13.59	44.59	162
BCIE	30.57	1.35	-46.48	46.51	272

Dreiecks-Helligkeit  $t^*$

%Umfang  
 $u^*_{rel} = 149$   
%Regularität  
 $g^*_{H,rel} = 46$   
 $g^*_{C,rel} = 65$

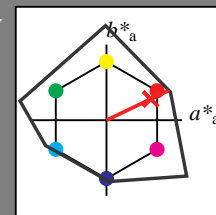


UG290-7, 5 stufige Reihen für konstanten CIELAB Buntton 25/360 = 0.071 (links)

### Ausgabe: Farbmimetrisches Reflexions-System NCS11

für Buntton  $h^* = lab^*h = 25/360 = 0.071$   
 $LAB^*LCH$ ,  $LAB^*NCH$

D65: Buntton R  
LCH\*Ma: 48 91 25  
rgb\*Ma: 1.0 0.02 0.0

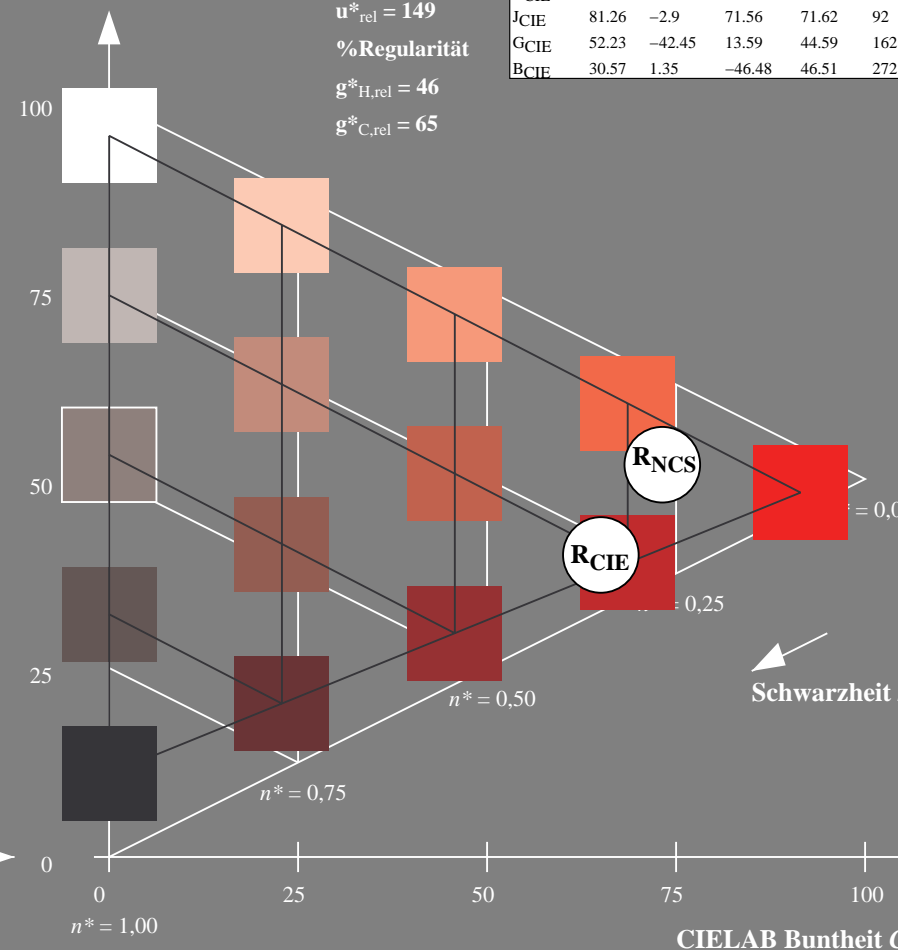


#### NCS11; adaptierte CIELAB-Daten

	$L^*=L^*_a$	$a^*_a$	$b^*_a$	$C^*_{ab,a}$	$h^*_{ab,a}$
RMa	47.15	84.64	37.25	92.48	24
JMa	91.37	-1.27	125.03	125.03	91
GMa	63.07	-114.28	25.35	117.06	167
G50BMa	59.47	-80.6	-33.45	87.28	203
BMa	49.01	3.65	-81.19	81.28	273
B50RMa	44.06	106.09	-73.93	129.32	325
NMa	10.99	0.0	0.0	0.0	0
WMa	95.41	0.0	0.0	0.0	0
RCIE	39.92	58.69	27.98	65.01	25
JCIE	81.26	-2.9	71.56	71.62	92
GCIE	52.23	-42.45	13.59	44.59	162
BCIE	30.57	1.35	-46.48	46.51	272

CIELAB-Helligkeit  $L^*$

%Umfang  
 $u^*_{rel} = 149$   
%Regularität  
 $g^*_{H,rel} = 46$   
 $g^*_{C,rel} = 65$



5 stufige Reihen für konstanten CIELAB Buntton 25/360 = 0.071 (rechts)

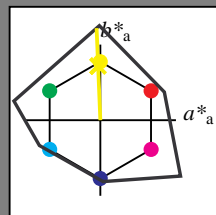
BAM-Prüfvorlage UG29; Farbmimetrik-Systeme NCS11a & NCS11b  
D65: Koordinaten-Systeme von 5stufigen Farbreihen für 10 Bunttonen  
Input:  $cmY0^* setcmykcolor$   
Output: no change compared to input



### Eingabe: Farbmimetrisches Reflexions-System NCS11

für Buntton  $h^* = lab^*h = 92/360 = 0.256$   
 $lab^*tch$  und  $lab^*nch$

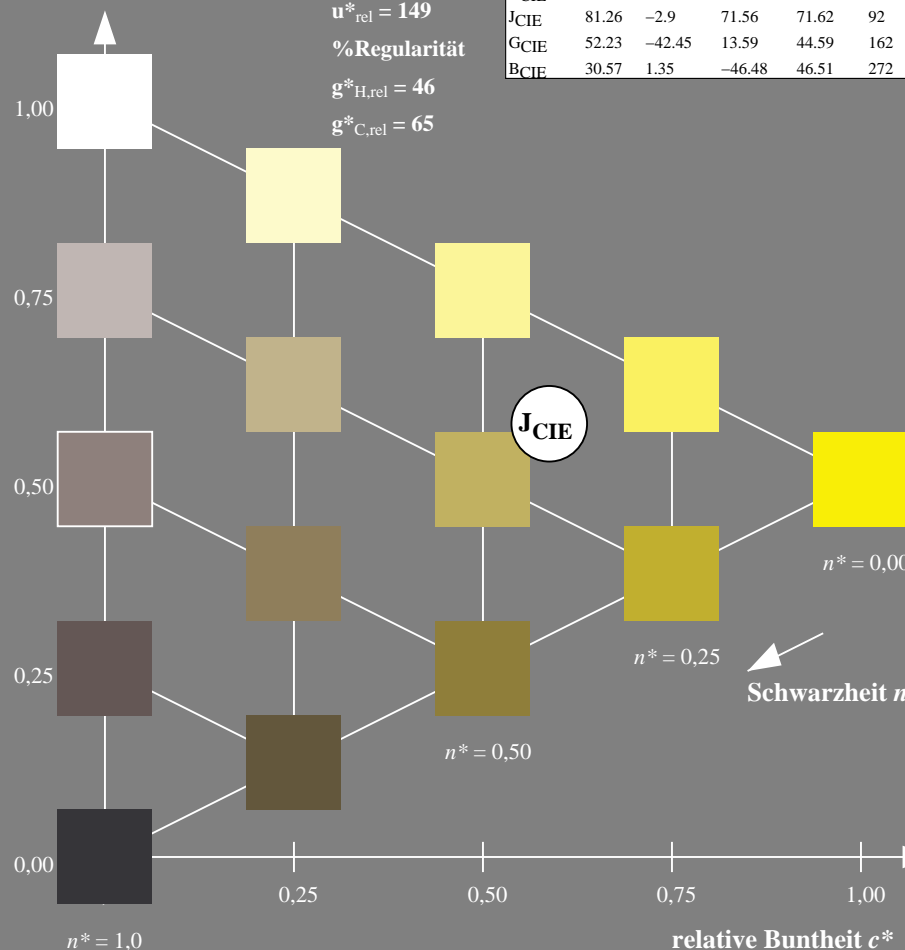
D65: Buntton J  
LCH\*Ma: 90 122 92  
rgb\*Ma: 0.97 1.0 0.0



NCS11; adaptierte CIELAB-Daten					
	$L^*=L^*_a$	$a^*_a$	$b^*_a$	$C^*_{ab,a}$	$h^*_{ab,a}$
RMa	47.15	84.64	37.25	92.48	24
JMa	91.37	-1.27	125.03	125.03	91
GMa	63.07	-114.28	25.35	117.06	167
G50BMa	59.47	-80.6	-33.45	87.28	203
BMa	49.01	3.65	-81.19	81.28	273
B50RMa	44.06	106.09	-73.93	129.32	325
NMa	10.99	0.0	0.0	0.0	0
WMa	95.41	0.0	0.0	0.0	0
RCIE	39.92	58.69	27.98	65.01	25
JCIE	81.26	-2.9	71.56	71.62	92
GCIE	52.23	-42.45	13.59	44.59	162
BCIE	30.57	1.35	-46.48	46.51	272

Dreiecks-Helligkeit  $t^*$

%Umfang  
 $u^*_{rel} = 149$   
%Regularität  
 $g^*_{H,rel} = 46$   
 $g^*_{C,rel} = 65$

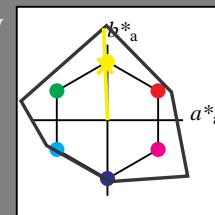


UG290-7, 5 stufige Reihen für konstanten CIELAB Buntton 92/360 = 0.256 (links)

### Ausgabe: Farbmimetrisches Reflexions-System NCS11

für Buntton  $h^* = lab^*h = 92/360 = 0.256$   
 $LAB^*LCH$ ,  $LAB^*NCH$

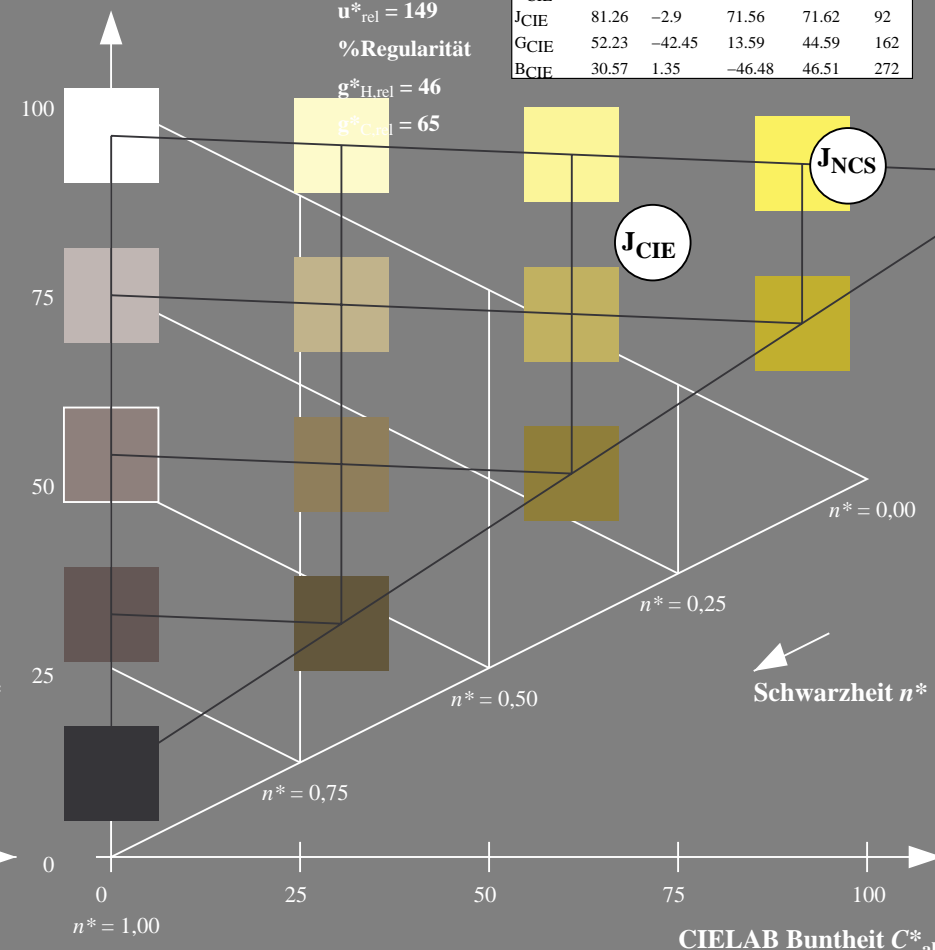
D65: Buntton J  
LCH\*Ma: 90 122 92  
rgb\*Ma: 0.97 1.0 0.0



NCS11; adaptierte CIELAB-Daten					
	$L^*=L^*_a$	$a^*_a$	$b^*_a$	$C^*_{ab,a}$	$h^*_{ab,a}$
RMa	47.15	84.64	37.25	92.48	24
JMa	91.37	-1.27	125.03	125.03	91
GMa	63.07	-114.28	25.35	117.06	167
G50BMa	59.47	-80.6	-33.45	87.28	203
BMa	49.01	3.65	-81.19	81.28	273
B50RMa	44.06	106.09	-73.93	129.32	325
NMa	10.99	0.0	0.0	0.0	0
WMa	95.41	0.0	0.0	0.0	0
RCIE	39.92	58.69	27.98	65.01	25
JCIE	81.26	-2.9	71.56	71.62	92
GCIE	52.23	-42.45	13.59	44.59	162
BCIE	30.57	1.35	-46.48	46.51	272

CIELAB-Helligkeit  $L^*$

%Umfang  
 $u^*_{rel} = 149$   
%Regularität  
 $g^*_{H,rel} = 46$   
 $g^*_{C,rel} = 65$



5 stufige Reihen für konstanten CIELAB Buntton 92/360 = 0.256 (rechts)

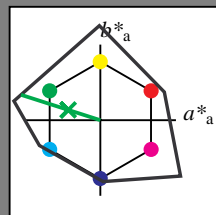
BAM-Prüfvorlage UG29; Farbmimetrik-Systeme NCS11a & NCS11b  
D65: Koordinaten-Systeme von 5stufigen Farbreihen für 10 Bunttonen  
Input:  $cmY0^* setcmykcolor$   
Output: no change compared to input



### Eingabe: Farbmimetrisches Reflexions-System NCS11

für Buntton  $h^* = lab^*h = 162/360 = 0.451$   
 $lab^*tch$  und  $lab^*nch$

D65: Buntton G  
LCH\*Ma: 65 110 162  
rgb\*Ma: 0.08 1.0 0.0



NCS11; adaptierte CIELAB-Daten					
	$L^*=L^*_a$	$a^*_a$	$b^*_a$	$C^*_{ab,a}$	$h^*_{ab,a}$
RMa	47.15	84.64	37.25	92.48	24
JMa	91.37	-1.27	125.03	125.03	91
GMa	63.07	-114.28	25.35	117.06	167
G50BMa	59.47	-80.6	-33.45	87.28	203
BMa	49.01	3.65	-81.19	81.28	273
B50RMa	44.06	106.09	-73.93	129.32	325
NMa	10.99	0.0	0.0	0.0	0
WMa	95.41	0.0	0.0	0.0	0
RCIE	39.92	58.69	27.98	65.01	25
JCIE	81.26	-2.9	71.56	71.62	92
GCIE	52.23	-42.45	13.59	44.59	162
BCIE	30.57	1.35	-46.48	46.51	272

Dreiecks-Helligkeit  $t^*$

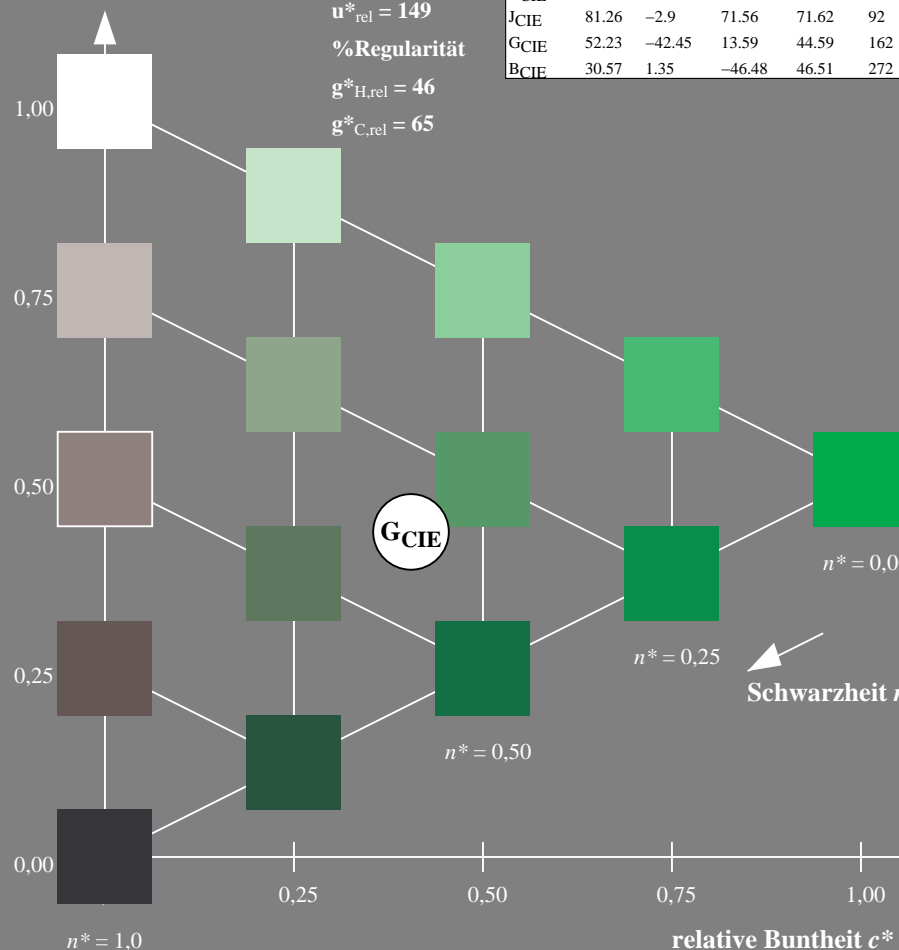
%Umfang

$u^*_{rel} = 149$

%Regularität

$g^*_{H,rel} = 46$

$g^*_{C,rel} = 65$



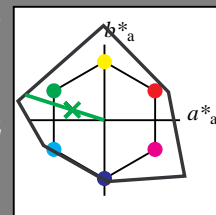
UG290-7, 5 stufige Reihen für konstanten CIELAB Buntton 162/360 = 0.451 (links)

BAM-Prüfvorlage UG29; Farbmimetrische Systeme NCS11a & NCS11b  
D65: Koordinaten-Systeme von 5stufigen Farbreihen für 10 Bunttöne

### Ausgabe: Farbmimetrisches Reflexions-System NCS11

für Buntton  $h^* = lab^*h = 162/360 = 0.451$   
 $LAB^*LCH$ ,  $LAB^*NCH$

D65: Buntton G  
LCH\*Ma: 65 110 162  
rgb\*Ma: 0.08 1.0 0.0



NCS11; adaptierte CIELAB-Daten					
	$L^*=L^*_a$	$a^*_a$	$b^*_a$	$C^*_{ab,a}$	$h^*_{ab,a}$
RMa	47.15	84.64	37.25	92.48	24
JMa	91.37	-1.27	125.03	125.03	91
GMa	63.07	-114.28	25.35	117.06	167
G50BMa	59.47	-80.6	-33.45	87.28	203
BMa	49.01	3.65	-81.19	81.28	273
B50RMa	44.06	106.09	-73.93	129.32	325
NMa	10.99	0.0	0.0	0.0	0
WMa	95.41	0.0	0.0	0.0	0
RCIE	39.92	58.69	27.98	65.01	25
JCIE	81.26	-2.9	71.56	71.62	92
GCIE	52.23	-42.45	13.59	44.59	162
BCIE	30.57	1.35	-46.48	46.51	272

CIELAB-Helligkeit  $L^*$

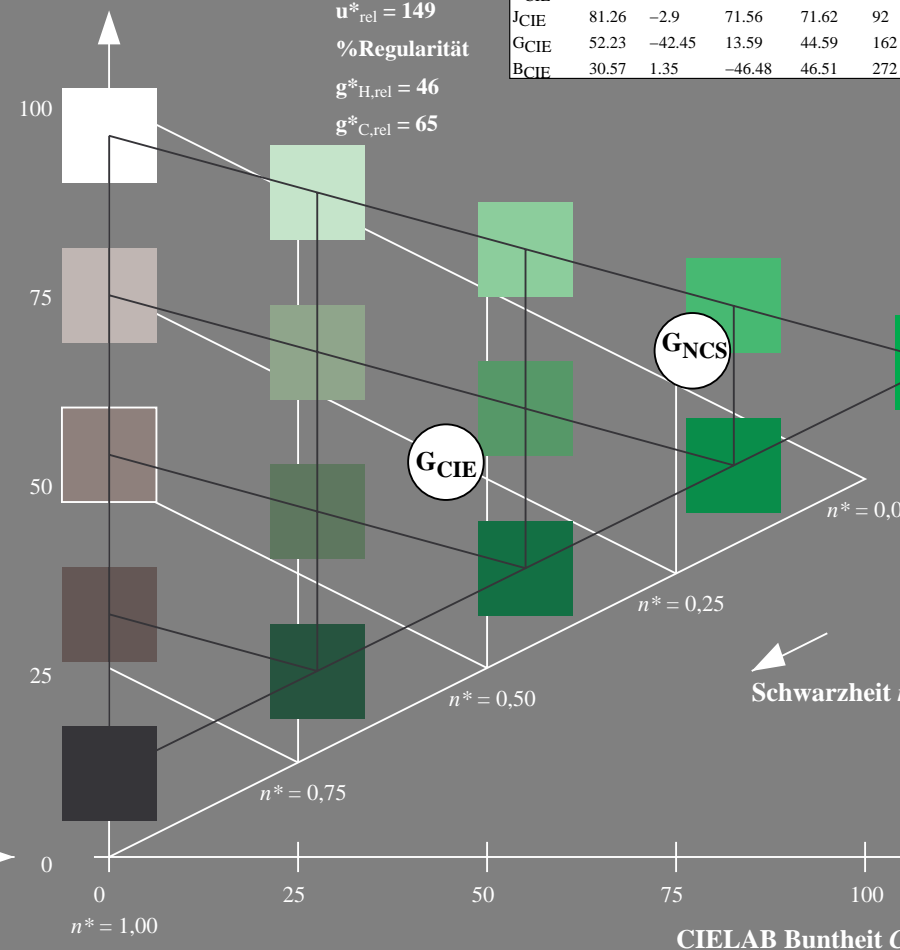
%Umfang

$u^*_{rel} = 149$

%Regularität

$g^*_{H,rel} = 46$

$g^*_{C,rel} = 65$



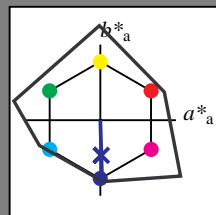
5 stufige Reihen für konstanten CIELAB Buntton 162/360 = 0.451 (rechts)

Input:  $cmY0^* setcmykcolor$   
Output: no change compared to input

### Eingabe: Farbmimetrisches Reflexions-System NCS11

für Buntton  $h^* = lab \cdot h = 272/360 = 0,755$   
 $lab \cdot tch$  und  $lab \cdot nch$

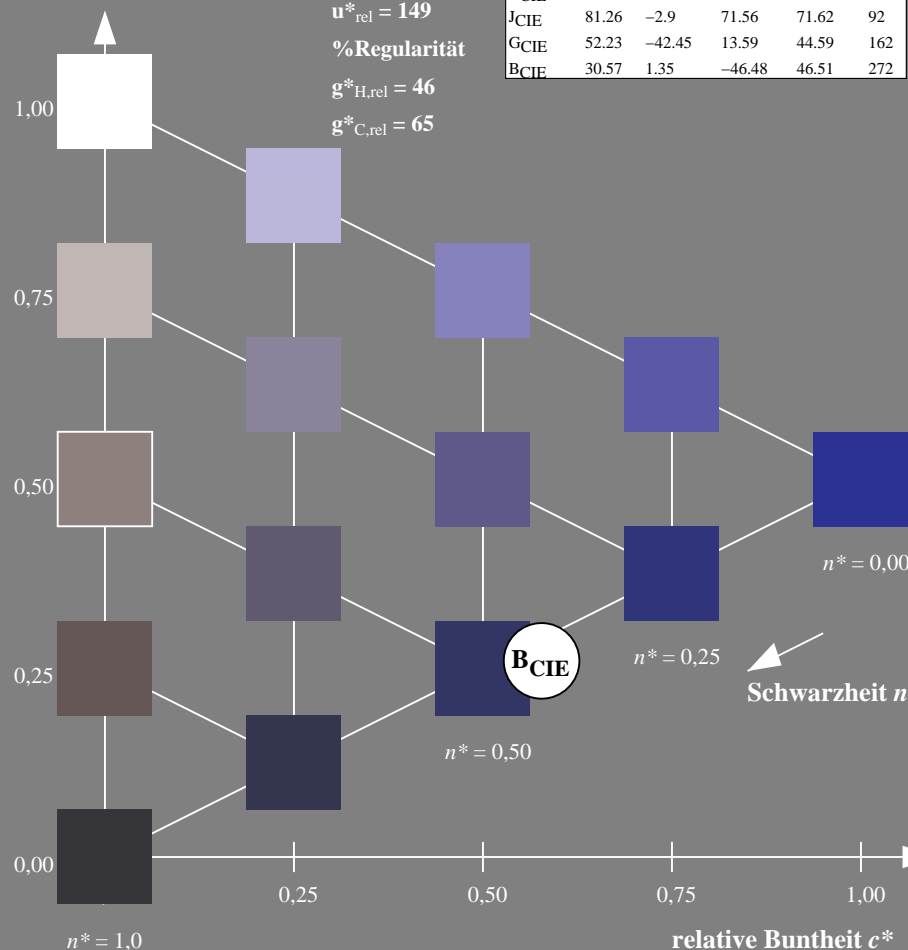
D65: Buntton B  
LCH\*Ma: 49 80 272  
rgb\*Ma: 0.0 0.02 1.0



NCS11; adaptierte CIELAB-Daten					
	$L^*=L^*_a$	$a^*_a$	$b^*_a$	$C^*_{ab,a}$	$h^*_{ab,a}$
RMa	47.15	84.64	37.25	92.48	24
JMa	91.37	-1.27	125.03	125.03	91
GMa	63.07	-114.28	25.35	117.06	167
G50BMa	59.47	-80.6	-33.45	87.28	203
BMa	49.01	3.65	-81.19	81.28	273
B50RMa	44.06	106.09	-73.93	129.32	325
NMa	10.99	0.0	0.0	0.0	0
WMa	95.41	0.0	0.0	0.0	0
RCIE	39.92	58.69	27.98	65.01	25
JCIE	81.26	-2.9	71.56	71.62	92
GCIE	52.23	-42.45	13.59	44.59	162
BCIE	30.57	1.35	-46.48	46.51	272

Dreiecks-Helligkeit  $t^*$

%Umfang  
 $u^*_{rel} = 149$   
%Regularität  
 $g^*_{H,rel} = 46$   
 $g^*_{C,rel} = 65$

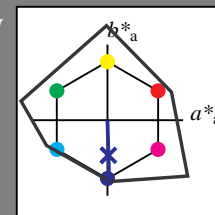


UG290-7, 5 stufige Reihen für konstanten CIELAB Buntton  $272/360 = 0,755$  (links)

### Ausgabe: Farbmimetrisches Reflexions-System NCS11

für Buntton  $h^* = lab \cdot h = 272/360 = 0,755$   
 $LAB \cdot LCH$ ,  $LAB \cdot NCH$

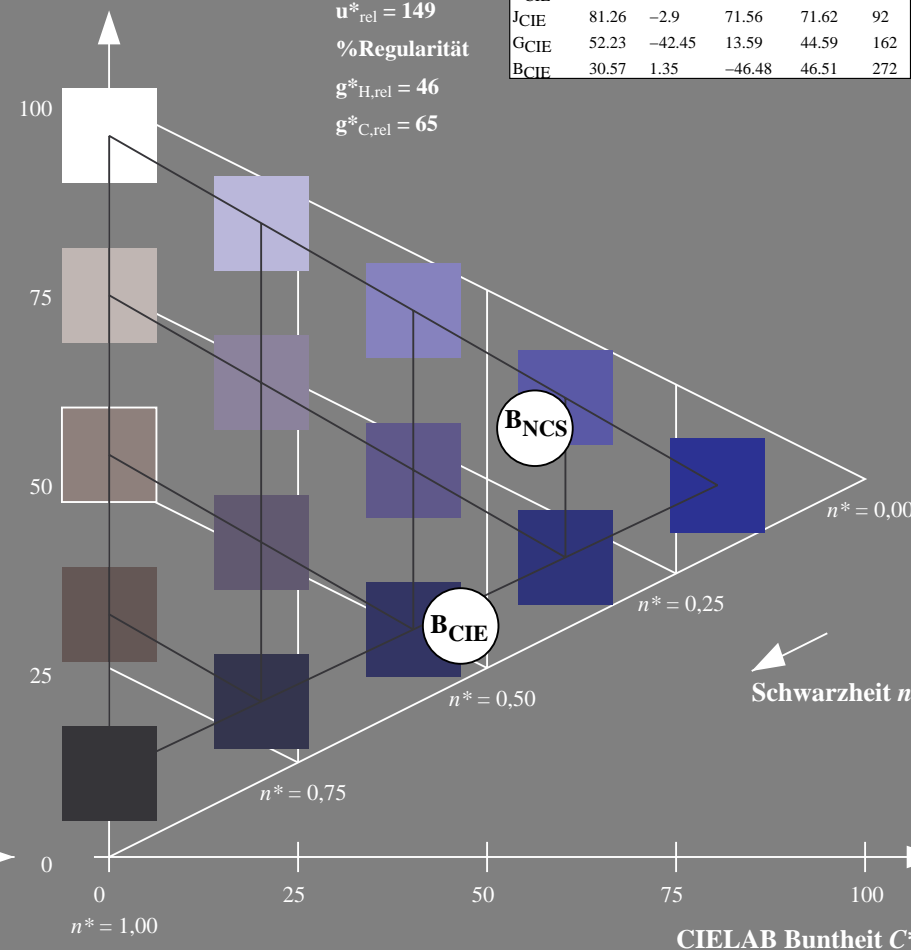
D65: Buntton B  
LCH\*Ma: 49 80 272  
rgb\*Ma: 0.0 0.02 1.0



NCS11; adaptierte CIELAB-Daten					
	$L^*=L^*_a$	$a^*_a$	$b^*_a$	$C^*_{ab,a}$	$h^*_{ab,a}$
RMa	47.15	84.64	37.25	92.48	24
JMa	91.37	-1.27	125.03	125.03	91
GMa	63.07	-114.28	25.35	117.06	167
G50BMa	59.47	-80.6	-33.45	87.28	203
BMa	49.01	3.65	-81.19	81.28	273
B50RMa	44.06	106.09	-73.93	129.32	325
NMa	10.99	0.0	0.0	0.0	0
WMa	95.41	0.0	0.0	0.0	0
RCIE	39.92	58.69	27.98	65.01	25
JCIE	81.26	-2.9	71.56	71.62	92
GCIE	52.23	-42.45	13.59	44.59	162
BCIE	30.57	1.35	-46.48	46.51	272

CIELAB-Helligkeit  $L^*$

%Umfang  
 $u^*_{rel} = 149$   
%Regularität  
 $g^*_{H,rel} = 46$   
 $g^*_{C,rel} = 65$



5 stufige Reihen für konstanten CIELAB Buntton  $272/360 = 0,755$  (rechts)

BAM-Prüfvorlage UG29; Farbmimetrische Systeme NCS11a & NCS11b  
D65: Koordinaten-Systeme von 5stufigen Farbreihen für 10 Bunttonen  
Input:  $cmY0^* setcmykcolor$   
Output: no change compared to input